

Slovenská technická univerzita  
Fakulta informatiky a informačných technológií  
Ilkovičova 3, 842 16 Bratislava 4

**Bc. Peter Bartalos**

**Simulované žíhanie pre riešenie pohybu koňa po  
šachovnici**

Evolučné algoritmy  
Case study

Odbor: Softvérové inžinierstvo  
Ročník: 1  
Semester: letný  
Jún, 2006

## Obsah

<b>1 Úvod</b>	<b>2</b>
<b>2 Zadanie</b>	<b>2</b>
<b>3 Teoretický úvod</b>	<b>2</b>
<b>4 Riešenie pohybu koňa po šachovnici</b>	<b>4</b>
4.1 Metóda riešenia . . . . .	4
4.2 Výsledky . . . . .	6
<b>5 Implementácia</b>	<b>9</b>
<b>Použitá literatúra</b>	<b>11</b>

## 1 Úvod

Dokument obsahuje opis riešenia zadania *Použite simulované žíhanie pre riešenie pohybu koňa na šachovnici*, vypracovaného v rámci skúšky z predmetu *Evolučné algoritmy*<sup>1</sup>. Členenie dokumentu je nasledovné. V prvej kapitole sa nachádza teoretický úvod do simulovaného žíhanie, vhodný pre tých, ktorí o tejto problematike nemajú dostatočné znalosti (zdroj textu - [1]). V druhej kapitole je opísaná metóda použitá pri riešení a dosiahnuté výsledky. V poslednej kapitole sa nachádza opis softvérovej implementácie, použitej pri riešení problému.

## 2 Zadanie

**Použite simulované žíhanie pre riešenie pohybu koňa na šachovnici**, kde zo zadaného poľa máte prebehnúť všetky ostatné poľa, pričom na každé pole vstúpíte iba raz. Ako druhú časť úlohy riešte rovnaký problém s podmienkou, že sa koň musí vrátiť naspäť. Pri riešení použite perturbáciu (mutáciu) toho druhu, že počiatok postupnosti polí do náhodne vybraného počtu polí skopírujete do nového riešenia a zvyšok vygenerujete. Úloha sa dá riešiť aj spätným prehľadávaním, ale len pre malé prípady.

## 3 Teoretický úvod

Metóda simulovaného žíhanie [1, 2, 3, 4] patrí medzi stochastické optimalizačné algoritmy. Svoj základ má vo fyzike, na rozdiel od iných stochastických optimalizačných algoritmov, ktoré majú svoj základ väčšinou v biológii. Algoritmus simulovaného žíhanie je založený na analógii medzi žíhaním tuhých telies a optimalizačným problémom.

Počiatkom 80-tych rokov Kirkpatrick, Gelatt a Vecchi a nezávisle Černý dostali geniálny nápad, že problém hľadania globálneho minima môže byť realizovaný podobným spôsobom ako žíhanie tuhého telesa.

Na obrázku 1 je znázornená fyzikálna realizácia simulovaného žíhanie. Teleso sa vloží do pece (ľavý blok), ktorá je vyhriata na vysokú teplotu  $T_{max}$ . Teplota sa programovacím zariadením (pravý blok) pomaly znižuje na teplotu  $T_{min}$ . Týmto spôsobom sa odstránia štruktúrne defekty vyskytujúce sa v telese.

Predpokladajme, že proces ochladzovania je dostatočne pomalý, potom pre každú teplotu  $T$  žíhané teleso je v tepelnej rovnováhe, ktorá je opísaná Boltzmanovským rozdelením pravdepodobnosti toho, že pri teplote  $T$  je teleso v stave  $i$  s energiou  $E_i$ .

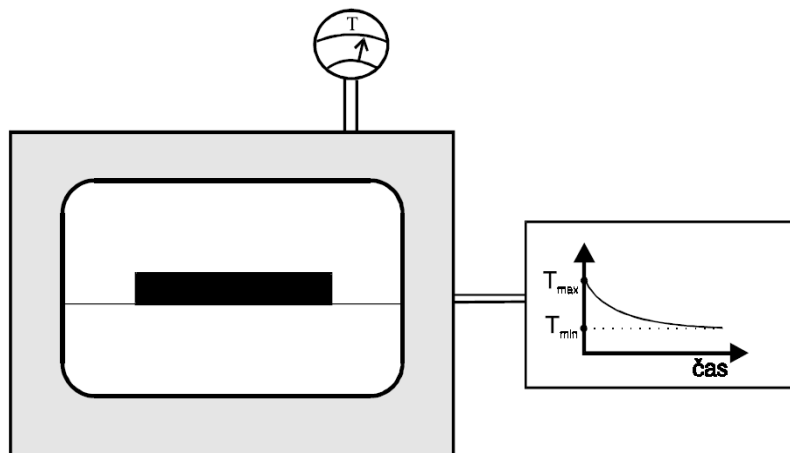
$$w_T(E_i) = \frac{1}{Q(T)} \exp\left(-\frac{E_i}{k \cdot T}\right)$$

kde  $k$  je Boltzmanova konštanta a  $Q(T)$  je normalizačný faktor nazývaný *partičná funkcia*

$$Q(T) = \sum_i \exp\left(-\frac{E_i}{k \cdot T}\right)$$

kde sumácia obsahuje všetky stavy  $i$  telesa.

<sup>1</sup><http://www2.fiit.stuba.sk/pospichal/prednaskaSTU06.htm>



Obrázok 1: Fyzikálna realizácia žíhania

Nech teplota  $T$  klesá, potom Boltzmanovská distribúcia uprednostňuje stavy s nižšou energiou. V prípade, že teplota sa blíži nule, stav s minimálnou energiou má nenulovú (jednotkovú) pravdepodobnosť.

Ak je ochladzovanie telesa príliš rýchle (telesu nie je umožnené získať tepelnú rovnováhu pre každú teplotu), defekty v telese môžu zamrznúť za vzniku nestabilných štruktúr, ktoré sú vzdialené od mriežkovej štruktúry s najnižšou energiou.

Metropolis a spol. navrhli Monte Carlo metódu, ktorá simuluje evolúciu systému tak, že generuje postupnosť stavov systému nasledujúcim spôsobom.

Nech je daný aktuálny stav systému (určený polohou častíc telesa), potom malá náhodná porucha je generovaná tak, že častice sú jemne posunuté. Ak rozdiel  $\Delta E = E_{\text{perturbed}} - E_{\text{current}}$  medzi porušeným stavom a aktuálnym stavom je negatívny ( $E_{\text{perturbed}} < E_{\text{current}}$ ), potom proces pokračuje s novým porušeným stavom. V opačnom prípade, ak  $E_{\text{perturbed}} > E_{\text{current}}$ , pravdepodobnosť porušenia stavu

$$Pr(\text{perturbed} \leftarrow \text{current}) = \min(1, \exp(\Delta E/kT))$$

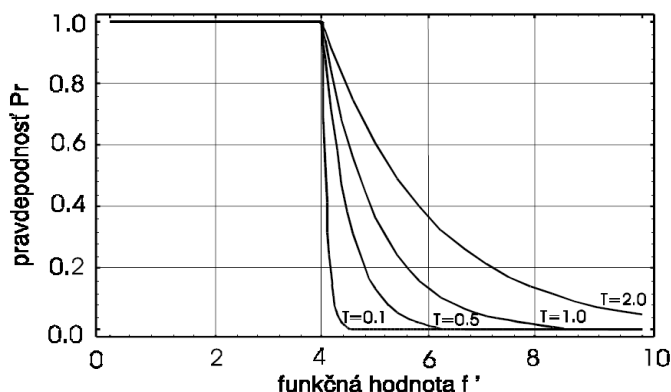
Toto pravidlo akceptovania porušeného stavu sa nazýva *Metropolisovo kritérium*.

Na obrázku 2 je znázornený priebeh Metropolisovho kritéria

$$Pr = \min(1, \exp(-(f' - f)/T))$$

pre rôzne teploty, kde  $f$  je fixná funkčná hodnota ( $f = 4$ ) a  $f'$  je nezávislá premenná braná z intervalu  $[0, 10]$ . Pre klesajúce hodnoty teploty  $T$  a pre  $f' > f$ , pravdepodobnosť  $Pr \rightarrow 0$  ak  $T \rightarrow 0$ .

K tomu, aby sme formalizovali Metropolisov algoritmus zavedieme nasledujúci formalizmus. Nech je stav systému určený stavovou premennou  $x$  (vo všeobecnosti vektor obsahujúci mnoho stavových premenných) a energiou  $f(x)$ . Proces poruchy stavu  $x$  na iný stav  $x'$  je formálne reprezentovaný operátorom,  $x' = O_{\text{perturb}(x)}$ . Stochastický charakter tohto operátora spočíva v náhodnej zmene stavu  $x$  na stav  $x'$ .



Obrázok 2: Priebek Metropolisovho kritéria

## 4 Riešenie pohybu koňa po šachovnici

Táto kapitola je venovaná samotnému riešeniu zadaného problému. V prvej podkapitole obsahuje podrobný opis metódy, ktorou bol problém riešený. Druhá podkapitola sa venuje dosiahnutým výsledkom.

### 4.1 Metóda riešenia

Definovaný problém sme riešili v súlade so zadaním pomocou simulovaného žíhania. Pri riešení sme sa snažili využiť aj existujúce metódy a aj nami navrhnuté postupy. Hlavnými zdrojmi informácií pre nás boli [1, 4]. V nasledujúcej časti sa budeme zaoberať presným opisom jednotlivých častí riešenia.

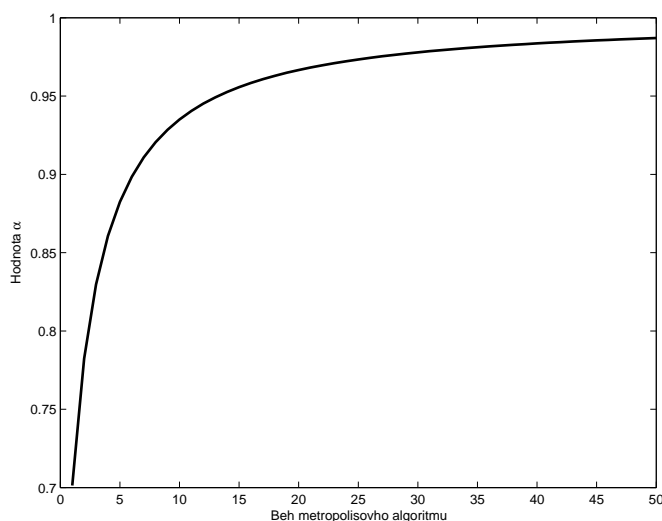
Stav systému je reprezentovaný stavovým vektorom. Ten pozostáva z určitého počtu prvkov, pričom každý reprezentuje určitú postupnosť krokov pohybu koňa po šachovnici.

Na začiatku procesu žíhania, je vygenerovaný stav systému tak, že stavový vektor je naplnený generovanými postupnosťami. Generovanie spočíva v postupnom náhodnom generovaní krokov. Každý pridaný krok je pritom validovaný. Validácia spočíva v testovaní, či sme sa daným krokom nedostali mimo hracieho poľa, alebo na už prejdené políčko. V prípade zlyhania validácie, sa generovanie ukončí.

Perturbácia postupnosti spočíva v skopírovaní postupnosti krokov do určitej časti a následnom dogenerovaní postupnosti. Jednou modifikáciou, ktorú sme skúšali, bola úprava pozície po ktorú sa kopíruje. Zmena spočívala v tom, že sme určili hranicu po ktorú sa postupnosť skopíruje. Miesto od ktorého sa náhodne dogenerovávala postupnosť bola vyberaná len z pozícií nad touto hranicou. Skúšali sme túto hranicu voliť ako 30%, 50% a 70%. Čím vyššie bola hranica definovaná, tým rýchlejšie sme získavali lepšie riešenia. Samozrejme bola vyššia pravdepodobnosť, že získané riešenie predstavuje lokálne optimum a znižovala sa šanca dosiahnuť požadované globálne optimum.

Pri znižovaní teploty sme použili multiplikatívny prístup. Teplota sa pri každom spustení metropolisovho algoritmu upravuje pravidlom  $T = \alpha \cdot T$ , kde  $0 \ll \alpha < 1$ . Priebek teploty pri žíhaní je charakterizovaný rýchlejšim ochladzovaním na začiatku procesu, ktoré sa následne spomaľuje.

Pre zabezpečenie tohoto priebehu sme parameter  $\alpha$  určovali dvoma spôsobmi. V prvom prípade bol parameter  $\alpha$  definovaný ako konštanta. Pri použití konštantnej hodnoty parametra  $\alpha$  tento priebeh nemusí byť dostatočne efektívny. Tieto nedostatky sme sa pokúsili riešiť dynamickým nastavovaním parametra  $\alpha$  pred každým spustením metropolisovho algoritmu. V [4] sa hovorí o spôsobe, kedy sa proces začína pri veľmi vysokej teplote, následne je prudko ochladený a potom prebieha proces ochladzovania pozvoľne. Tento priebeh sme sa snažili vytvoriť spomínaným dynamickým nastavovaním hodnoty  $\alpha$ . Jeho hodnoty boli určované podľa funkcie zobrazenej na obrázku 3.



Obrázok 3: Priebeh parametra  $\alpha$

Použitie opísaného prístupu dynamického nastavovania hodnoty  $\alpha$  sa nám ukázal byť prínosný. Výhodou bolo zníženie rizika zlého nastavenia konštantnej hodnoty tohto parametra.

Funkciu, ktorou sme ohodnocovali stavový vektor (fitnes), sme konštruovali dvoma spôsobmi. Prvý spôsob bol zameraný na najlepšiu postupnosť krokov spomedzi všetkých postupností v stavovom vektore. V druhom prípade boli zahrnuté všetky postupnosti a výsledná fitnes bola založená na priemere zo všetkých postupností. Samostatné ohodnotenie postupností bolo založené na pomere počtu zatiaľ dosiahnutých krokov voči počtu krokov potrebných na prejdenie celého poľa. Samozrejme tento prístup je vhodný len na riešenie prvej časti zadania, teda pre prípad, keď sa kôň nemusí vrátiť na východiskovú pozíciu. Pre druhú časť zadania, kde sa mal kôň vrátiť na pôvodnú pozíciu, bola fitnes upravená tak, aby zahŕňala aj vzdialenosť počiatočnej pozície od pozície dosiahnutej po vykonaní nájdenej postupnosti krokov. Pri použití fitnes, ktorá pracovala s priemerom sme nedosiahli dobré výsledky. Všetky uvedené výsledky sa preto budú vztýhovať na prípad, kedy fitnes závisela len od najlepšej postupnosti v stavovom vektore.

Fitnes pre prvú časť zadania bola teda definovaná nasledovne:

$$f(x) = 1 - \max_{s \in U(x)} \left( \frac{n_{reached}}{n_{total}} \right),$$

kde  $x$  je stavový vektor,  $U(x)$  je množina všetkých postupností v stavovom vektore,  $n_{reached}$  je počet dosiahnutých krokov v danej postupnosti z  $U(x)$ ,  $n_{total}$  je počet krokov potrebných na prejdenie celého hracieho poľa.

Pre druhú časť zadania bola upravená nasledovne:

$$f(x) = 1 - \max_{s \in U(x)} \left( \frac{n_{reached} + diff_{reached}}{n_{total} + diff_{max}} \right),$$

kde  $diff_{reached}$  je vzdialenosť medzi počiatočnou a koncovou pozíciou koňa. Vzdialenosť sa počíta ako súčet absolútnych hodnôt rozdielov horizontálnych a vertikálnych súradníc počiatočnej a koncovej pozície koňa.  $diff_{max}$  predstavuje maximálnu možnú vzdialenosť medzi počiatočnou a koncovou pozíciou koňa, počítanú ako dvojnásobok veľkosti hracieho poľa bez jednej.

Proces žihania je navrhnutý tak, aby minimalizoval ohodnocovacia funkciu. Z toho dôvodu sa vo funkcii nachádza odčítavanie od jednej. Vyplýva z toho, že čím nižšie ohodnotenie, tým lepšia postupnosť.

Kritickou časťou riešenia problému pomocou simulovaného žihania je spomínané nastavenie parametrov algoritmu. Ide o nastavenie začiatkovej teploty  $T_{max}$ , minimálnej teploty  $T_{min}$  a počtu aplikácií metropolisovho algoritmu  $k_{max}$ .

Spočiatku sme tieto parametre nastavovali viacmenej náhodne. Po získaní poznatkov o chovaní sa procesu pri rôznych hodnotách týchto parametrov sme sa ich snažili nastaviť na optimálne hodnoty, ktoré prinášali najlepšie výsledky. Hodnotu  $T_{max}$  sme sa snažili nastaviť tak, aby približne polovica porušených stavov bola akceptovaná metropolisovým algoritmom. Pri dynamickom nastavovaní parametra  $\alpha$  sme volili hodnotu  $T_{max}$  vyššiu. Rýchle ochladzovanie však spôsobilo, že teplota rýchlo dosiahla hodnotu pri ktorej bolo rozhodovanie o akceptovaní stavov blízko optimálne. Keďže našim cieľom bolo získať presne definovanú postupnosť krokov, ktorú vieme overiť, tak sme hodnotu parametra  $T_{min}$  zvolili nulovú. Ukončenie procesu bolo definované nájdením požadovanej postupnosti. Počet aplikácií metropolisovho algoritmu  $k_{max}$  sme nastavovali na základe výsledkov pri jednotlivých hodnotách.

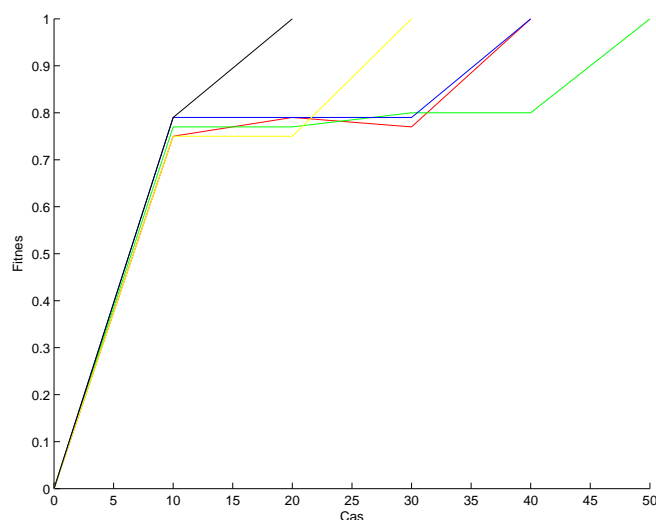
## 4.2 Výsledky

V tejto kapitole sa budeme venovať vyhodnoteniu výsledkov, ktoré sme dosiahli pri riešení problému. Výsledky, ktoré budú prezentované sme dosiahli pri nastavení počiatočnej pozície koňa do ľavého dolného okraja hracej plochy.

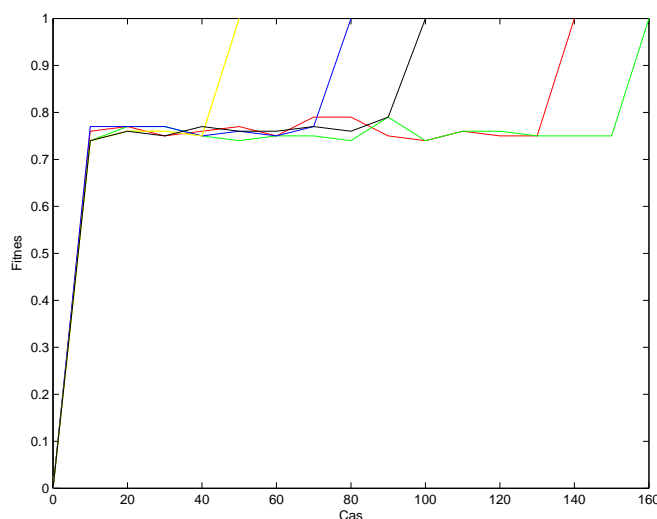
Počas testovania procesu žihania sme odksúšali rôzne kombinácie parametrov algoritmu. Údaje, ktoré budeme ďalej uvádzať boli získané pri nastaveniach, ktoré sme považovali za najvhodnejšie.

V prvej časti zadania bolo treba riešiť pohyb koňa po šachovnici tak, že po prejdení všetkých polí sa kôň nemusí dostať na východiskovú pozíciu. Tento prípad predstavoval omnoho jednoduchší problém ako situácia, keď sa mal kôň dostať na východiskovú pozíciu. Riešenie sme získali po pomerne krátkom čase behu programu. Na obrázku 4 vidíte časový priebeh fitness pre tento prípad počas niekoľkých behov procesu (v grafoch je fitness pre lepšiu prehľadnosť znázornená ako pomer dosiahnutého výsledku voči finálnemu, žiadanému výsledku). Na horizontálnej osi je zobrazený čas behu programu uvedený v sekundách. Samozrejme táto časová informácia nie je smerodajná v absolútnej miere, keďže doba vykonávania programu je silne závislá od hardvérovej konfigurácie počítača na ktorom program beží a celkových podmienkach prostredia operačného systému. Zaujímavé je porovnanie s ďalšími grafmi, ktoré uvedieme. Pre behy zobrazené na obrázku 4 obsahoval stavový vektor 10 postupností. Z grafu je vidieť, že riešenie bolo nájdené veľmi rýchlo. Zaujímavé je porovnanie s údajmi z grafu z obrázka 5. Pre tieto behy obsahoval

stavový vektor 500 postupností. Z porovnania grafov je vidieť, že v druhom prípade trvalo nájdenie riešenia dlhšie, pritom stavový vektor obsahoval 50-krát viac postupností, teda omnoho viac potenciálnych kandidátov na riešenie. Problém však spôsobovalo to, že pre dlhší stavový vektor trvá aj výpočet úmerne dlhšie. Proces simulovaného žihania je preto tiež pomalší, čím sa odd'aluje jeho efektívny účinok.



Obrázok 4: Priebek fitness

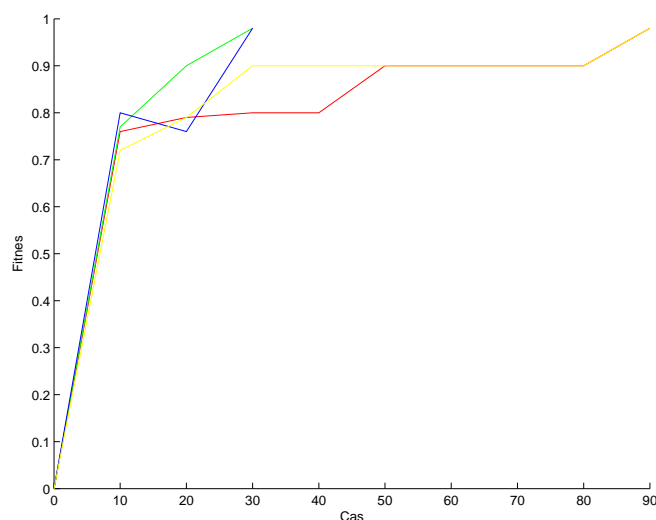


Obrázok 5: Priebek fitness

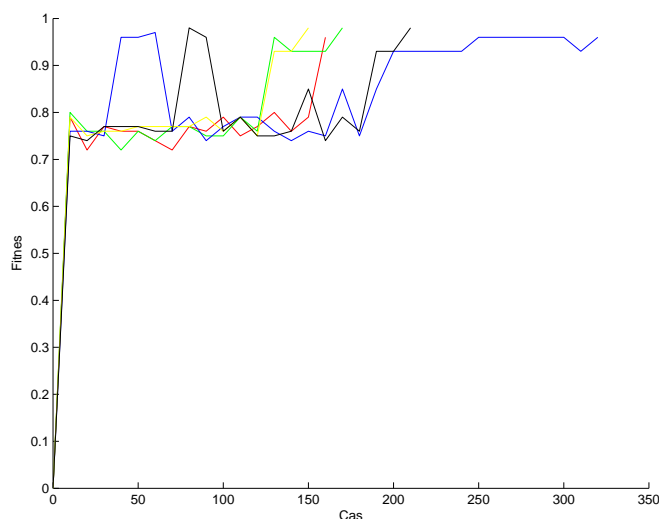
V ďalšej časti sa budeme venovať druhej časti zadania, t.j. situácii, keď sa má kôň dostať po prechode všetkých pozícií do východiskovej. Treba si uvedomiť, že vyhodnocovacia funkcia je pre tento prípad iné ako v predošlom prípade, čomu treba prispôbiť aj interpretáciu výsledných údajov. Na obrázku 6 vidíme podobne ako v predchádzajúcej časti znázornený priebek vyhodnocovacej funkcie v čase. Počet postupností v stavovom vektore je opäť 10. Z grafu je vidieť, že vývoj fitness je v tomto prípade o niečo pomalší ako v predchádzajúcom prípade. Vývoj riešenia sa však pozastavuje po dosiahnutí určitého bodu. Po krátkej dobe sa síce nájde nejaká postupnosť,



avšak hľadanie riešenia, pri ktorom sa kôň po prejení všetkých políčok ocitne čo najbližšie k východiskovej pozícii je už pozvoľné. Dosiagnuť maximálnu fitness sa nám v reálnom čase nedarilo. Rovnako ako v predchádzajúcej časti, aj v tomto prípade sme spravili experimenty pri výrazne vyšších počtoch postupností v stavovom vektore. Dosiagnuté výsledky znova potvrdzujú, že voľba príliš vysokého počtu postupností nie je vhodná, pozri obrázok 7.



Obrázok 6: Priebek fitness



Obrázok 7: Priebek fitness

Štatistické výsledky dosiahnuté v jednotlivých prípadoch behov simulovaného žihania sú sumarizované v tabuľke číslo 1. V tabuľke sú uvedené minimálne, maximálne a priemerné hodnoty časov, po ktorých bolo dosiahnuté riešenie. Z uvedených údajov je zrejmé, že situácia, keď sa kôň nemusí dostať na východiskovú pozíciu predstavuje omnoho jednoduchší problém. V druhom prípade, keď sa kôň má dostať na východiskovú pozíciu je omnoho náročnejší. Priemerné časové hodnoty, po ktorých sa dosiahol výsledok bol takmer dvojnásobný. Z výsledkov je rovnako vidieť, že odchýlky v jednotlivých behoch algoritmu môžu byť dost' veľké. Tento fakt interpretujeme

tak, že v algoritme hrá nezanedbateľnú úlohu náhoda, ktorá spôsobuje, že v jednotlivých behoch môže byť priebeh rozdielny.

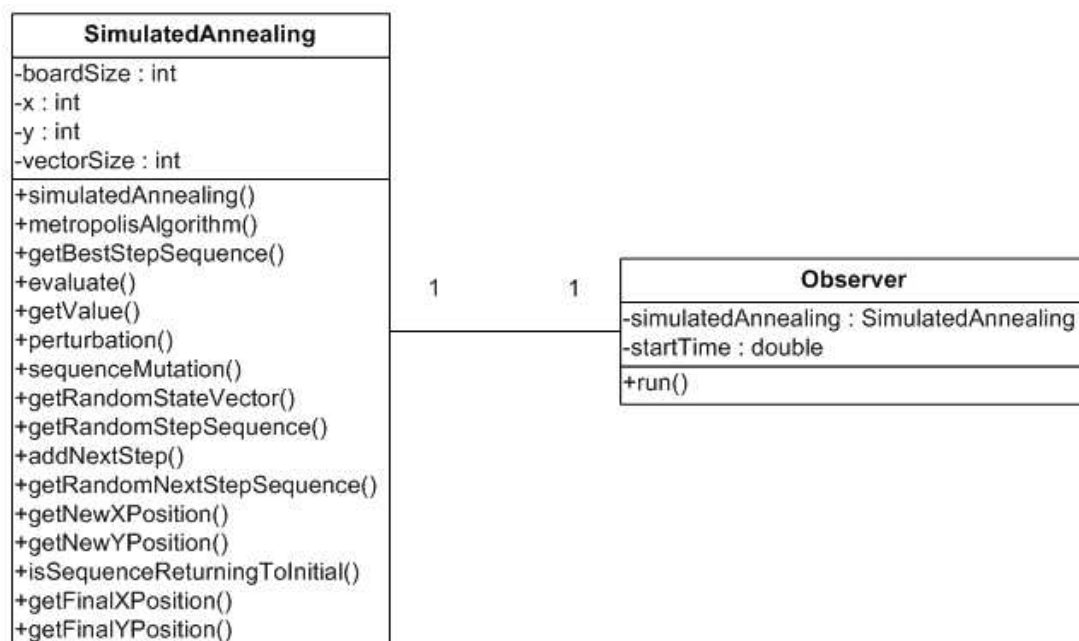
Tabuľka 1: Štatistiky: časy dosiahnutia riešenia v jednotlivých prípadoch

Dĺžka vektora	Bez návratu		S návratom	
	10	500	10	500
min	20	50	30	160
max	50	160	90	320
priemer	36	104	58	202

## 5 Implementácia

Nasledujúca kapitola je venovaná implementácii riešenia zadania.

Ako implementačný jazyk bol použitý jazyk Java verzie 1.5. Na obrázku 8 je znázornený diagram tried, ktoré boli vytvorené pre riešenie zadania. Hlavná funkcionálna je implementovaná v triede *SimulatedAnnealing*. Trieda *Observer* slúži len na priebežné monitorovanie stavu procesu žihania.



Obrázok 8: Diagram tried

Atribútmi triedy *SimulatedAnnealing* sú:

- *boardSize* - rozmer hracieho poľa
- *x* - horizontálna súradnica koňa
- *y* - vertikálna súradnica koňa

- *vectorSize* - dĺžka vektora reprezentujúci stavovú premennú (počet postupností)

V triede sa nachádzajú operácie zabezpečujúce samotný proces žihania a rôzne pomocné operácie.

Základ vykonávania procesu žihania je tvorený operáciami *simulatedAnnealing* a *metropolisAlgorithm*. Význam ostatných operácií je nasledovný:

- *getBestStepSequence* - vráti najlepšiu postupnosť zo stavového vektora (najdlhšia korektná postupnosť)
- *evaluate* - ohodnotí stavový vektor (fitnes)
- *getValue* - ohodnotí jednu postupnosť
- *perturbation* - perturbácia stavového vektora
- *sequenceMutation* - perturbácia jednej postupnosti
- *getRandomState Vector* - vytvorí náhodný stavový vektor
- *getRandomStepSequence* - vytvorí náhodnú korektnú postupnosť krokov
- *addNextStep* - pridá jeden korektný krok ku existujúcej postupnosti
- *getRandomNextStepSequence* - vráti náhodnú postupnosť ôsmich rôznych možných krokov koňa (postupnosť dĺžky osem)
- *getNewXPosition* - vypočíta novú horizontálnu pozíciu koňa pre daný krok z danej pozície
- *getNewYPosition* - vypočíta novú vertikálnu pozíciu koňa pre daný krok z danej pozície
- *isSequenceReturningToInitial* - zistí, či nájdená postupnosť, je taká, že jej koncová pozícia je zhodná s východiskovou
- *getFinalXPosition* - zistí finálnu horizontálnu pozíciu pre danú postupnosť
- *getFinalYPosition* - zistí finálnu vertikálnu pozíciu pre danú postupnosť

Trieda *Observer* je implementovaná ako zvlášť vlákno, ktoré sleduje štatistické premenné a v definovaných intervaloch ich vypíše na konzolu.

Pre spustenie procesu žihania použite metódu *main* triedy *SimulatedAnnealing*.

## Použitá literatúra

- [1] Kvasnička, V., Pospíchal J., Tiňo P.: Evolučné algoritmy. Slovenská technická univerzita v Bratislave, vydavateľstvo STU, 2000.
- [2] Laarhoven, P.J.M., Aarts E.H.L.: Simulated annealing. Theory and applications. Reidel, Dordrecht, 1987.
- [3] Otten, R.H.J.M., Ginneken, L.P.P.P.: Annealing algorithm. Kluwer, Boston, 1989.
- [4] Simulated Annealing  
<http://www.cs.nott.ac.uk/~gjk/aim/notes/simulatedannealing.doc>